

## پیش تغليظ مقادير کم سرب در نمونه های آب با استفاده از ريشه گياه شيرين بيان و اندازه گيري بوسيله اسپكترومتری جذب اتمی شعله

احمد يزدانی<sup>1</sup>، رضا قربان پور<sup>2</sup>، فاطمه وفايي<sup>3\*</sup>

<sup>1</sup>دانشجوی کارشناسی ارشد بیوتکنولوژی، مسئول آزمایشگاه غذا و دارو، دانشگاه علوم پزشکی خراسان شمالی، بجنورد، ایران

<sup>2</sup>کارشناس آزمایشگاه دانشکده بهداشت، دانشگاه علوم پزشکی خراسان شمالی، بجنورد، ایران

<sup>3</sup>کارشناس ارشد شيمي تجزيه، دانشگاه دولتي سمنان، سمنان، ايران

\*نويسنده مسئول: سمنان، دانشگاه دولتي سمنان

Fatemeh.vafaei@yahoo.com

### چکیده

زمينه و هدف: در اين پژوهش، روش برای استخراج فاز جامد جهت تعیین مقادير بسیار کم سرب در نمونه های آبی گزارش می گردد. مواد و روش کار: با استفاده از ريشه گياه شيرين بيان، ستون هايی تهيه شد. با استفاده از پمپ سيرينگ، محلول هايی حاوي مقدارهای مشخصی از سرب از ستون عبور داده شد. با انجام محاسبات بر روی نتایج بدست آمد، نمودار کالibrasiون در محدوده ی خطی  $ng/mL$  120-10 (بانو گرم بر میلی لیتر) با استفاده از دستگاه جذب اتمی می باشد.

يافته ها: حد تشخيص روش پيشنهادي  $2/15ng/mL$  و انحراف استاندارد نسبی 3/04 و 0/754 درصد برای غلظت های  $20 ng/mL$  و 60 به دست آمد ( $n=6$ ). اندازه گيري سرب در نمونه های آب پساب بوسيله روش پيشنهادي با موفقیت انجام شد.

نتیجه گيري: ريشه گياه شيرين بيان يك جاذب طبیعي مناسب برای جذب سرب محسوب می شود. در نتیجه يك روش ستونی SPE (Solid Phase extraction) برای اندازه گيري سرب با استفاده از جاذب ذکر شده پيشنهاد می شود.

واژه های کلیدی: استخراج فاز جامد، سرب، گياه شيرين بيان، پساب های صنعتی، جذب اتمی

### احتياج دارد [2]. اسپكترومتری جذب اتمی شعله

(Flame Absorption atomic spectroscopy) (FAAS)، به طور گسترده برای اندازه گيري سرب در غلظت های بسيار پايان مورد استفاده قرار می گيرد. اسپكترومتری جذب اتمی شعله در اکثر آزمایشگاه ها موجود است و به طور کلی کمتر در معرض مزاحم ها قرار می گيرد [3] اما قبل از اندازه گيري سرب توسط دستگاه احتياج به يك مرحله ي پيش تغليظ به منظور افرياش غلظت سرب دارد زيرا غلظت سرب در نمونه های آب محيط پيرامون به طور کلی بسيار پايان تراز حد تشخيص دستگاه جذب اتمی است [4]. فرایندهای پيش تغليظ و جداسازي همراه با اسپكترومتری جذب اتمی شعله استفاده از يك سیستم تشخيص ساده و ارزان و

### مقدمه

ثابت شده است که، اکثر آلودگی انسان توسط سرب از غذاها و نوشیدنی هایی که مورد استفاده قرار می دهد سرچشممه می گيرد. جذب مرتب مقدار کمی از سرب می تواند آسيب های جدی به سلامتی انسان وارد کند از قبيل: آسيب های مغزی، آسيب های کلیوی و از چندين روش می تواند اين آسيب های جسمی را ايجاد کند. به طور کلی آب يكی از مهمترین منابع آلوده کننده توسط سرب محسوب می شود [1]، حتی اگر مقدار ناچيزی از سرب در آب موجود باشد، مصرف روزانه آن می تواند به طور جدی اثرات فيزيولوژيکی بدی را به دنبال داشته باشد. اندازه گيري سرب در حد چشم پوشی (trace)، در نمونه های آبی به روش تجزيه اي مناسب با حساسيت بالا

محلول از میان ستون ها بوسیله پمپ سیرینگ مدل programmable Brno CZ-61400 منظور تهیه فاز جامد از سر سرنگ استفاده شد. برای تهیه ای محلول استاندارد  $1000\text{mg/L}$  سرب، از نمک  $\text{Pb}(\text{NO}_3)_2$  ساخت شرکت مرک استفاده شد [12]. محلول های رقیق تر از این محلول ساخته شدند. به منظور بررسی اثر یون های مزاحم از نمک های فلزی مناسب با درصد خلوص بالا و تولید کارخانه ای مرک آلمان استفاده شد. برای شستشوی ستون مورد نظر از نیتریک اسید با خلوص بالا و با غلظت  $1\text{mol/L}$  استفاده شد. به منظور تهیه ای ستون حاوی جاذب مورد نظر (ریشه ای گیاه شیرین بیان) از سر سرنگ استفاده شد که جاذب، درون آن فشرده شد. از آب دو بار نقطیز برای به حجم رساندن محلول ها، استفاده شد. در این مطالعه، جاذب طبیعی (ریشه ای گیاه شیرین بیان)، برای انجام آزمایشات آماده شد [13]. به این ترتیب که ابتدا ریشه ای گیاه توسط آسیاب برقی به شکل پودر درآمده و سپس در سه حالت آسیدی، بازی، و بدون عملیات فعل سازی، توسط  $\text{NaOH}$  و  $\text{HNO}_3$  مورد ارزیابی قرار گرفت. برای این منظور جاذب را به مدت 2 ساعت در محلول های  $0/1$  مولار نیتریک اسید و سود به طور جداگانه در دمای  $180$  درجه سانتیگراد حرارت داده شد [14]. و بعد از شستشو و خشک کردن در کوره سه عدد ستون توسط مقدار  $0/1$  گرم از هر جاذب، پر و فشرده شد. از هر سه ستون با سرعت جریان یکسان، در شرایط  $\text{pH}=4$  محلول سرب با غلظت  $50\text{ ng/mL}$  را عبور داده و مقدار سرب پیش تغليظ شده از هر سه ستون، بعد از شستشوی ستون ها توسط اسید نیتریک  $1\text{ mol/L}$ ، توسط دستگاه جذب اتمی خوانده شد [15].

#### یافته ها

نتایج نشان داد که ریشه ای گیاه شیرین بیان، در حالت طبیعی، بدون آنکه نیاز به عملیاتی به منظور فعالسازی داشته باشد، بازدهی خوبی را نشان می دهد. که این، از امتیازات این جاذب به شمار می رود. پس از بدست آمدن شرایط بهینه، از روش پیشنهادی فوق جهت اندازه گیری سرب در نمونه های حقیقی استفاده گردید. جهت انجام این کار ستون هایی به وسیله ای  $0/3$  گرم ریشه ای گیاه

بسیار مناسب را ممکن می سازند [5]. چندین روش برای جداسازی و پیش تغليظ مقدارهای بسیار کم سرب در نظر گرفته شده است، از قبیل: استخراج بخش مایع-مایع (dispersive Liquid- Liquid microextraction) (استخراج مایع- مایع) (Liquid-Liquid extraction) (استخراج با نقطه ابری) (cloud point extraction) استخراج فاز جامد، این قبیل سیستم ها حساسیت و انتخاب پذیری FAAS را برای اندازه گیری مقدار بسیار ناچیز سرب در نمونه های آبی بهبود می بخشد [6]. در میان این تکنیک ها هر دو روش on-line یا off-line استخراج فاز جامد (SPE)، به خاطر سادگی و مصرف مقدار بسیار کم از حللا های آلی و توانایی در حذف ترکیبات مزاحم زمینه به سایر روش ها ارجحیت داده می شود. امروزه، بررسی و پژوهش به منظور دست یابی به مواد جدید به عنوان فاز جامد استخراج کننده فلزات در مقدارهای بسیار پایین حائز اهمیت است [7]. در این مقاله فاز جامدی که مورد بررسی قرار گرفت، ریشه گیاه شیرین بیان است. شیرین بیان در اکثر مناطق جهان بخصوص میان دو عرض جغرافیایی  $30$  و  $40$  درجه در نیمکره شمالی زمین می روید [8]. این گیاه در کشورمان نیز پراکنش بسیار وسیعی دارد و در استان هایی چون خراسان (شمالي و رضوي)، آذربایجان شرقی و غربي، زنجان، گلستان، کردستان، فارس، اصفهان، تهران و غيره مشاهده می شود [9]. شیراز قطب تولید و صادرات شیرین بیان در ایران است. این گیاه خواص درمانی فراوانی دارد و از جمله گیاهان دارویی است که بسیار مورد توجه قرار دارد [10]. ریشه گیاه شیرین بیان به عنوان جاذبی ارزان قیمت و غیر سمی و مناسب به عنوان فاز جامد در روش SPE، برای پیش تغليظ سرب که یک فلز سمی است، مورد استفاده قرار گرفت و شرایط تجزیه ای بهینه برای اندازه گیری کمی سرب مورد بررسی قرار گرفت [11].

#### روش کار

بخش تجربی: دستگاه اسپکترومتری جذب اتمی که برای اندازه گیری غلظت یون های فلزی بعد از مرحله شستشو مورد استفاده قرار گرفت، shimadzu model 680 بود. 462 pH توسط PH-Meter مدل TS- TECHNOLOGY تنظیم شد. سرعت جریان عبور

جدول ۱: مقایسه نتایج بدست آمده از سه ستون تهیه شده توسط  
جادب در شرایط متفاوت

درصد جذب	جادب
89/9	جادب فعال شده با NaOH
92	جادب فعال شده با HNO <sub>3</sub>
97/1	جادب بدون عملیات فعالسازی

جدول ۲: داده های مربوط به اندازه گیری سرب در نمونه های حقیقی با استفاده از روش افزایش استاندارد

نمونه	میزان سرب اضافه شده	میزان سرب اندازه گیری	درصد	بازیابی	(ng/mL)
آب شهریزاد	24/ 3±0/5	----			رودخانه‌ی
آب باغ نیشابور	106	45/7±0/2	20		
پساب	103	18±0/4	----		
پساب	92/6±0/5	28/5±0/3	10		
پساب	103	105/5±0/4	10		

اتمی قابل اندازه گیری نیست بایک فرایند پیش تغليظ، توسط ستون های فوق به راحتی قابل اندازه گیری خواهد شد. برای اطمینان از صحت نتایج از روش افزایش استاندارد استفاده گردید. به این صورت که به نمونه های مورد بررسی مقدار مشخصی از استانداردها اضافه شد. و مجدد از ستون ها عبور داده شدند. نتایج در جدول ۱-۱ نشان داده شده است. همان طور که نتایج نشان می دهند، روش فوق روش مناسبی جهت اندازه گیری سرب در نمونه های حقیقی می باشد.

شیرین بیان، در درون سرسرنگ که به عنوان ستون در نظر گرفته شده بود، تهیه شد. سپس 50 میلی لیتر از نمونه ها شامل آب و پساب های صنعتی و نمونه های تهیه شده که دارای سرب بودند از روی ستون ها با سرعت تقریبی 1 میلی لیتر بر دقیقه عبور داده شد و سپس ستون مورد نظر توسط 1 میلی لیتر اسید نیتریک 2 مولار شسته شده و میزان سرب موجود در محلول توسط دستگاه جذب اتمی اندازه گیری شد. در حقیقت در این روش میزان سرب پساب ها و نمونه های تهیه شده که توسط دستگاه جذب

شده توسط هر ستون، توسط دستگاه جذب اتمی خوانده شد. نتایج بدست آمده در شکل ۳ مشاهده می شود [18]. به منظور بهینه سازی غلظت اسید، نیتریک اسید در ۴ غلظت متفاوت، (۰/۵، ۱، ۲ و ۳) مول بر لیتر تهیه شد. محلول های سرب در غلظت ۵۰mg/mL در حجم ۵۰mL با pH=۴ از ستون هایی که با ۰/۳ گرم جاذب پر و فشرده شده بودند عبور داده شدند. ستون ها توسط نیتریک اسید با غلظت های متفاوت شسته شدند. میزان سرب موجود در محلول حاصل از شستشو توسط دستگاه جذب اتمی خوانده شدند. نتایج در شکل ۴ نشان داده شده است [20].

در اين مرحله از آزمایش، نمونه های سرب در غلظت مشخص ۵۰ng/mL ولی در حجم های متفاوت، ۵۰، ۲۵، ۷۵، ۱۰۰، ۱۲۵، میلی لیتر تهیه شدند و از ستون تهیه شده توسط مقدار ۰/۳ گرم جاذب عبور داده شدند. در نهایت پس از شستشوی ستون ها توسط ۱mL نیتریک اسید ۲mol/L شستشو داده شدند سپس میزان سرب محلول ها توسط دستگاه جذب اتمی خوانده شد. نتایج بدست آمده در شکل ۳ نشان داده شده است [21]. نتایج نشان می دهد که حجم ۱۰۰mL مناسب می باشد. بنابراین با توجه به اینکه حجم اسید جهت شستشو ۱mL می باشد فاکتور پیش تغليظ برابر ۱۰۰ بدست می آيد [22].

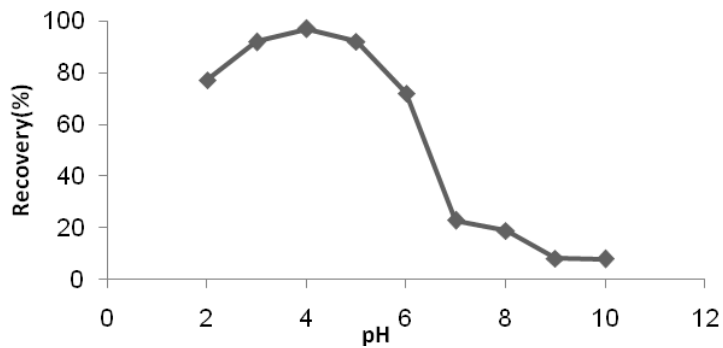
در ادامه برای بررسی اثر یون مزاحم بر روی جذب سرب توسط ریشه های شیرین بیان، محلول هایی جدآگانه از کاتیون ها و آنیون های مختلف ساخته شد. سپس طبق دستور کار محلول حاوی سرب و غلظت های مختلف، از یون های مذکور از درون ستون طبق شرایط بهینه عبور داده شد. سپس ستون ها با یک میلی لیتر اسید نیتریک ۲ مولار شسته شدند. جذب عنصر سرب محلول ها توسط جذب اتمی خوانده شد. نتایج این مطالعه در جدول ۴ نشان داده شده است. یون مزاحم به یونی اطلاق می شود که موجب  $5 \pm \%$  تغییر در سیگنال مورد نظر شود [23]. با استفاده روش Batch ظرفیت جذب جاذب اندازه گیری شد. در این حالت، گرم های ۰/۰۵، ۰/۰۱، ۰/۰۱۵، ۰/۰۲ از جاذب را برداشت و با ۵۰ میلی لیتر محلول ۵۰ mg/L از عنصر سنگین سرب به مدت ۲ ساعت بر روی همزنا

آزمایشات مربوط به پیش تغليظ سرب توسط جاذب طبیعی (ریشه های شیرین بیان) به روش ستونی انجام شد. در این آزمایشات پارامترهای مختلف موثر بر جذب از جمله pH، سرعت جريان، مقدار گرم جاذب و غلظت نیتریک اسید شستشو دهنده ستون، مورد بررسی قرار گرفتند برای استخراج یون سرب توسط جاذب، به ۵۰ میلی لیتر از محلول حاوی ۵۰ ng/mL سرب، ۲ میلی لیتر بافر اضافه گردید تا pH محلول بر روی ۴ ثابت شود، سپس اين محلول به ستون جاذب تزریق شد. شستشوی ستون توسط ۱ میلی لیتر نیتریک اسید ۱ mol/L انجام شد. جذب سرب در محلول بازيابي توسط دستگاه جذب اتمی اندازه گيری شد.

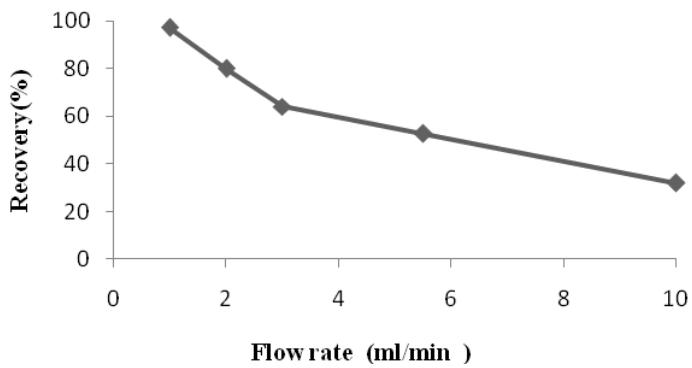
### بحث

در اين مرحله برای بهینه کردن pH، بافرهای مختلف در محدوده (pH = ۲-۱۰) به روش استاندارد تهیه شد. سپس به تعداد مساوی ستون هایی با ۰/۱ گرم از جاذب ۵۰ mL آماده گردید. در اين مرحله محلول هایی به حجم ۵۰ mL حاوی سرب با غلظت ۵۰ و ۲/۵ ng/mL بافرهای فوق آماده و توسط پمپ به ستون ها تزریق شدند [16، 15]. پس از شستشوی سرب جذب شده توسط محلول ۱ mol/L نیتریک اسید جذب محلول های بازيابی شده توسط دستگاه اسپکترومتری جذب اتمی اندازه گيری شدند.

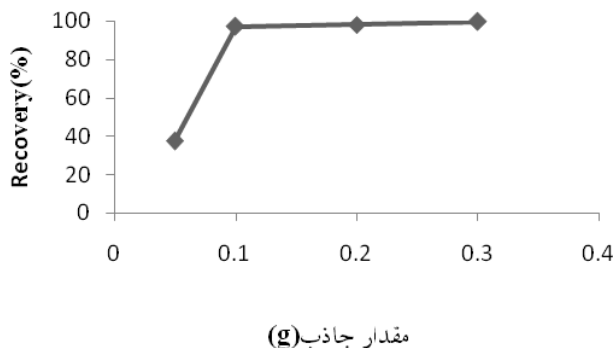
برای تعیین سرعت جريان بهینه، نيريوي پمپ به منظور تزریق محلول سرب به درون ستون در نیروهای ۴۰، ۶۰، ۸۰، ۱۰۰، یوتن تنظیم شد [17]. محلول های سرب که در pH=۴ تنظیم شده بودند، به درون ستون ها تزریق شد و توسط ۱ml اسید نیتریک ۱ mol/L ستون شستشو داده شد. مقدار سرب پیش تغليظ شده توسط دستگاه خوانده شد و نتایج در شکل ۲ نشان داده شده است. به منظور بهینه سازی مقدار جاذب مورد استفاده، جاذب را در مقدارهای ۰/۳، ۰/۰۲، ۰/۰۱، ۰/۰۰۵ گرم توسط ترازو وزن کرده و در ستون های تهیه شده، فشرده نموده و بر روی سرنگ گاواش متصل کردیم. محلول ۵۰ng/mL سرب در حجم ۵۰mL با pH=۴ تهیه شده و به هر کدام از ستون ها تزریق گردید. در نهایت ستون را توسط ۱ml نیتریک اسید ۱mol/L شستشو داده و مقدار سرب پیش تغليظ



شكل ۱: تاثیر pH بر میزان جذب  
شرایط: ۵۰ mL از محلول سرب، مقدار جاذب ۰/۱ گرم، سرعت جریان ۱ ml/min

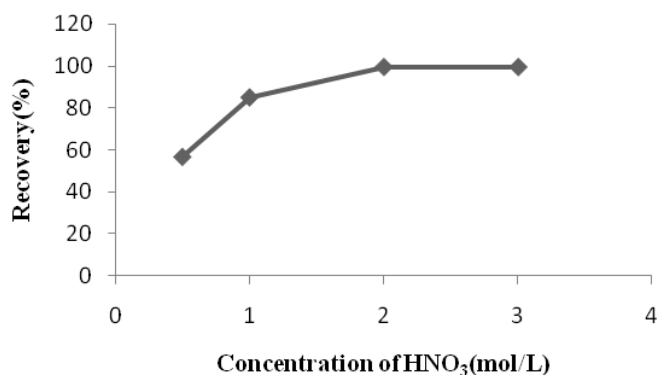


شكل ۲: تاثیر سرعت جریان بر میزان جذب شرایط: ۵۰ mL از محلول سرب ۰/۱ گرم، pH= ۴، مقدار سرعت جریان ۱mL/min، به عنوان سرعت

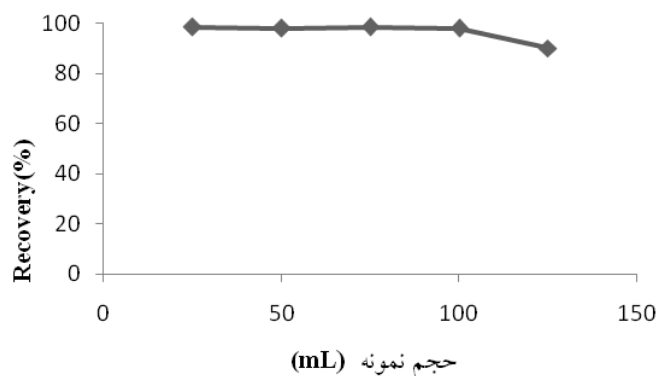


شكل ۳: تاثیر مقدار جاذب بر روی درصد جذب در شرایط: ۵۰ mL از محلول سرب ۰/۳ گرم، سرعت جریان ۱mL/min، pH=4 طبق نتایج بدست آمده مقدار

[19].



شکل 4: تاثیر غلظت اسید نیتریک بر درصد جذب در شرایط: 50mL محلول 4 pH, 1ml/min سرعت جریان 50ng/mL سرب 0/3 گرم، مقدار جاذب



شکل 5: نمودار مربوط به اثر حجم های متفاوت نمونه سرب با غلظت 50ng/mL در شرایط بهینه

جدول 3 : تاثیر حجم های متفاوت نمونه بر مقدار جذب

حجم نمونه (mL)	25	50	75	100	125
درصد جذب	98/5	98	98/5	98	90

جدول ۴: تاثیر مزاحمت یون های مختلف در اندازه گیری مقادیر کم سرب

تاثیر	سرب / یون های مختلف	یون
بی اثر	1000	Na <sup>+</sup>
بی اثر	1000	K <sup>+</sup>
بی اثر	1000	Zn <sup>2+</sup>
بی اثر	1000	Co <sup>2+</sup>
بی اثر	1000	Ba <sup>2+</sup>
بی اثر	1000	Mn <sup>2+</sup>
بی اثر	1000	Ni <sup>2+</sup>
بی اثر	1000	Fe <sup>3+</sup>
بی اثر	1000	Cu <sup>3+</sup>
بی اثر	1000	Cd <sup>2+</sup>
بی اثر	1000	Cr <sup>2+</sup>
بی اثر	1000	Al <sup>3+</sup>
بی اثر	1000	Ag <sup>+</sup>
بی اثر	1000	NO <sub>2</sub> <sup>-</sup>
بی اثر	1000	NO <sub>3</sub> <sup>-</sup>
بی اثر	1000	Br <sup>-</sup>
بی اثر	1000	Cl <sup>-</sup>
بی اثر	1000	CH <sub>3</sub> COO <sup>-</sup>
بی اثر	1000	SO <sub>4</sub> <sup>2-</sup>

شرط: 50 mL محلول سرب 0/3 گرم، مقدار جاذب 50ng/mL

سرعت جریان 1,4mL/min، pH=7، غلظت نیتریک اسید شستشو

دهنده‌ی ستون 2mol/L

انحراف استاندارد محاسبه شده برای مقادیر بدست آمده‌ی  
بلانک 0/000501 می‌باشد.

$$RSD = \frac{S}{\bar{X}} \cdot 100$$

در اندازه گیری سرب به وسیله‌ی روش فوق، انحراف استاندارد برای دو سری از غلظت‌های (60 و 20) ng/mL نیز محاسبه گردید. (n=6) میزان انحراف استاندارد برای این غلظت‌ها به ترتیب 4/75 و 3/04٪ می‌باشد [25].

نتیجه گیری

نشهی گیاه‌شیرین بیان بدون این که به عملیات  
فعالسازی پیش از انجام آزمایش نیاز داشته باشد یک

مغناطیسی قرار گرفت و پس از صاف کردن نمونه‌ها و به  
دست آوردن درصد جذب فلز مورد نظر، با استفاده از  
دستگاه جذب اتمی بر اساس ظرفیت جذب 2/99mg g<sup>-1</sup>  
به دست آمد. همان‌گونه که مشاهده می‌شود با توجه به  
اندازه گیری‌های به عمل آمده، منحنی کالیبراسیونی با  
حدوده خطی 10-120ng/ml بدست آمد که حد  
تشخیص و انحراف استاندارد نسبی آن محاسبه و در زیر  
بیان شده است [24].

$$LOD = \frac{3S_b}{m}$$

$$LOD = 2/15 \text{ ng/mL}$$

جادب طبیعی مناسب برای جذب سرب محسوب می شود. در نتیجه یک روش ستونی SPE برای اندازه گیری سرب با استفاده از جاذب ذکر شده پیشنهاد می شود. سرعت جریان بهینه برای عبور محلول سرب از ستون، ۱ میلی- لیتر بر دقیقه تعیین شد. که در این بررسی نشان داده شد با کاهش سرعت عبور جریان از ستون، مقدار جذب افزایش می یابد و این مسئله به خاطر بالا رفتن زمان تماس محلول با جاذب می باشد اندازه گیری سرب بر اساس منحنی خطی کالیبراسیون که در محدوده ۱-۱۴۰ ng/ml ۱۰ رسم شد که در محدوده ۱۰-۱۲۰ ng/mL خطی بود. براساس منحنی بدست آمده و نیز اندازه گیری سرب در نمونه های حقیقی نشان داده شد که روش فوق دارای صحت خوبی می باشد. مقدار بهینه جاذب ۰/۳ گرم تعیین شد. و نشان داده شد که با افزایش مقدار جاذب مقدار جذب به طور قابل توجهی بالا می رود. مثلا با افزایش مقدار جاذب از ۳/۷% به ۹۵/۹% رسید.

#### تشکر و قدردانی

نگارنده این مقاله از دانشکده علوم دانشگاه دولتی سمنان، به خاطر فراهم کردن امکانات آزمایشگاهی کمال تشکر را دارد.

**References**

1. Barnes S ,”et al”, Rationale for the use of genistein-containing soy matrices in chemoprevention trials for breast and prostate cancer, *J Cell Biochem Suppl* 1995; 22:181-187.
2. St Clair M,” et al”, Suppression of dimethylhydrazine-induced carcinogenesis in mice by dietary addition of the Bowman-Birk Protease inhibitor, *Cancer Res* 1990;50:580-586.
3. Fotsis T,” et al”, Genistein, a dietary-derived inhibitor of in vitro angiogenesis, *Proc Natl Acad Sci USA* 1993; 90: 2690-2694.
4. Barnes S,” et al”, Soy isoflavonoids and cancer prevention, Underlying biochemical and pharmacological issues, *Adv Exp Med Biol* 1996; 401:87-100.
5. Barnes S ,”et al”, Biochemical targets of the iso-flavone genistein in tumor cell lines, *Proc Soc Exp Biol Med* 1995; 208:103-108.
6. Adlercreutz H,” et al”, Plasma concentrations of phyto-oestrogens in Japanese men, *Lancet* 1993;342:1209-1210.
7. Kyle E ,”et al”, Genistein-induced apoptosis of prostate cancer cells is preceded by a specific decrease in focal adhesion kinase activity, *Mol Pharmacol* 1997; 51:193-200.
8. Evans BA,” et al”, Inhibition of 5 alpha-reductase in genital skin fibroblasts and prostate tissue by dietary lignans and isoflavonoids, *J Endocrinol* 1995; 147:295-302.
9. Pollard M ,”et al”, Influence of isoflavones in soy protein isolates on development of induced prostate-related cancers in L-W rats, *Nutr Cancer* 1997; 28:41-45.
10. Peterson G ,”et al”, Genistein and biochanin A inhibit the growth of human prostate cancer cells but not epidermal growth factor receptor tyrosine autophosphorylation, *Prostate* 1993; 22:335-345.
11. Kappas A,” et al”, Nutrition-endocrine interactions, Induction of reciprocal changes in the delta-5-alpha-reduction of testosterone and the cytochrome P-450-dependent oxidation of estradiol by dietary macronutrients in man, *Proc Natl Acad Sci USA* 1983; 80: 7646-7649.
22. Chyou PH,” et al”, A prospective study of alcohol, diet, and other lifestyle factors in relation to obstructive uropathy, *Prostate* 1993; 22:253-264.
13. Duke JA, Handbook of medicinal herbs, Boca Raton, FL: CRC Press. 1985:p118.
14. Carilla E,” et al”, Binding of Permixon, a new treatment for prostatic benign hyperplasia to the cytosolic androgen receptor in the rat prostate, *J Steroid Biochem* 1984; 20: 521-523.
15. Sultan C,” et al”, Inhibition of androgen metabolism and binding by a liposteric extract of *Serenoa repens* B in human foreskin fibroblasts, *J Steroid Biochem* 1984; 20:515-519.
16. Carilla E ,”et al”, Binding of Permixon, a new treatment for prostatic benign hyperplasia to the cytosolic androgen receptor in the rat prostate, *J Steroid Biochem* 1984; 20: 521-523.
17. Crimi A ,”et al”, Extract of *Serenoa repens* for the treatment of the functional disturbances of prostate hypertrophy, *Med Praxis* 1983; 4: 47-51.
18. Hinman F, Benign Prostatic Hyperplasia, New York: Springer-Verlag. 1983
19. Martinelli EM,” et al”, Characterization of Pygeum africanum bark extracts by HRCG with computer assistance, *HRC & CC* 1986; 9:106-110.
20. Hartman TJ,” et al”,Effects of long-term alpha-tocopherol supplementation on serum hormones in older men, *Prostate* 2001; 46: 33-38.
21. Uberti E, HPLC analysis of n-docosyl ferulate in Pygeum africanum extracts and pharmaceutical formulations, *Fitoterapia* 1990; 41: 342-347.
22. Bombardelli E, Methods, composition and compounds for the treatment of prostatic adenoma, EP Appl 8330491.3, June 10, 1985.
23. Helzlsouer KJ, “et al”,Association between alpha-tocopherol, gamma-tocopherol, selenium and subsequent prostate cancer, *J Natl Cancer Inst* 2000; 92: 1966-67.
24. Marcoli M, Anti-inflammatory and antiedemigenic activity of extract of Pygeum africanum in the rat, *New Trends Androl Sci* 1985; 1:89.
25. Colpi G,” et al”, Study of the activity of chloroformic extract of Pygeum africanum bark in the treatment of urethral obstructive syndrome caused by non-cancerous prostatopathy, *Urologia* 1976; 43:441-448.
26. Luchetta G,” et al”, Reactivation from the prostatic gland in cases of reduced fertility, *Urol Int* 1984; 39: 222-224.

## Preconcentration of trace amounts of Lead in water samples with root of *Glycyrrhizaglabra* and Determination by flame atomic absorption spectrometry

Yazdani A<sup>1</sup>, Ghorbanpur R<sup>2</sup>, Vafaeiy F<sup>3</sup>

<sup>1</sup> Ms student of Biotechnology, Food and Drug Administration, North Khorasan University of Medical sciences, Bojnurd, Iran.

<sup>2</sup> Expert of laboratory, Department of health environmental engineering, North Khorasan University of Medical sciences, Bojnurd, Iran.

<sup>3</sup> Ms of analytical Chemistry, Department of Chemistry, Semnan of University, Semnan, Iran.

**\*Corresponding Author:**  
Department of Chemistry,  
Semnan of University,  
Semnan, Iran.  
Email:  
Fatemeh.vafaei@yahoo.com

---

### Abstract

**Background and Objectives:** In this project we have reported a solid phase extraction method for determination of trace amount of lead in water samples.

**Material & Methods:** The column loaded with root of *Glycyrrhizaglabra*. The effect of different variables such as reagent concentration, flow rate and interfering ions on the recovery of the analyte was investigated using atomic adsorption. The calibration graph was linear in the range 10-120 ng/mL of lead in the initial solution.

**Results:** Detection limits was 2/15 ng/mL ( $n= 6$ ) and relative standard deviation of 20 and 60 ng/mL were 3.04 and 4.75% respectively.

**Conclusion:** This procedure was successfully applied to the determination of lead in waste water and samples in Solid Phase extraction.

**Keywords:** Solid phase extraction, Lead, Industrial wastewater, Determination.

---